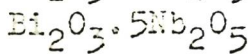
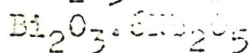
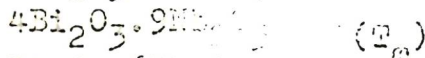
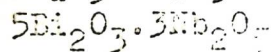
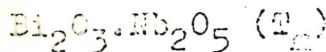


VC - AG

Bq- VII 3152 1962



Roth R.S., Waring J.L.

J. Res. Natl. Bur. Standards,

1962, 466, N 6, 451-463

E. G. R.

3

NbAs

24 Б250. Структура NbAs и аналогичных монофосфидов и арсенидов ниобия и тантала. Boller H., Parthé E. The transposition structure of NbAs and of similar monophosphides and arsenides of niobium and tantalum. «Acta crystallogr.», 1963, 16, № 11, 1095—1101 (англ.)

1963

Проведено рентгенографич. исследование (метод порошка, ионизационная регистрация интенсивностей) NbAs. Параметры тетрагон. решетки: $a = 3,45$, $c = 11,67\text{ \AA}$, $\rho = 8,22$, $= 4$, ф. гр. $I\bar{4}1md$. Структура NbAs с 4Nb в $4(a)$ $c=0$ и 4AS в $4(a)$ с $z=5/12$ может быть составлена из почти правильных тригон. Nb-призм с атомом As в центре призмы. Вдоль периода c повторяются 4 та-

ИГ
2/17

+2



24.1964.24

кие призмы, которые повернуты и смещены друг относительно друга соответственно наличию оси 4. Каждый атом окружен на равных расстояниях 6 соседями из числа атомов другого сорта. 8 кратчайших расстояний между атомами одного сорта имеют большую величину и распадаются на две группы по 4 расстояния в каждой. Расстояния в одной из этих групп равны периоду a , а в другой — несколько меньше, что вызывает отклонение Nb-призм от точной тригональности. Структуру NbAs можно рассматривать также как состоящую из фрагментов структуры типа WC. При этом каждая ячейка NbAs состоит из двух «плит», структура каждой из которых соответствует структуре WC, однако по сравнению с полной структурой WC эти плиты перевернуты местами. Исследованы также изотопич. структура TaAs с параметрами решетки a 3,43, c 11,65 \AA и структура β -NbP с параметрами: a 3,33, c 11,37 \AA . При этом обнаружено, что стехиометрич. фаза NbP имеет структуру NbAs, в то время как отклонение от стехиометрическости в сторону избытка Nb ведет к искажению структуры, примерно линейно зависящему от степени отклонения от стехиометрич. состава.

А. Левин

1964

Арсениды
и
антимони-
ды

Nb Asx

Nb Sbx

15 Б483. Арсениды и антимониды ниобия. Fuglseth Sigrid, Kjekshus Arne. Arsenides and antimonides of niobium. «Nature» (Engl.), 1964, 203, № 4944, 512 (англ.)

Проведено рентгенографич. исследование соединений, образующихся в двойных системах Nb—As и Nb—Sb. Помимо известных NbAs ф. гр. $I4_1$ или $I4_1\text{md}$ и Nb₃Sb со структурой типа β -W установлено существование новых фаз: Nb₅Sb₄ со структурой типа Ti_5Tl_4 и параметрами решетки $a = 10,314$, $c = 3,556\text{\AA}$, d (пикн.) = $= 8,17 \text{ г}/\text{см}^3$; NbAs₂ $a = 9,357$, $b = 3,3823$, $c = 7,792\text{\AA}$, $\beta = 119,46^\circ$, d (пикн.) = $7,41 \text{ г}/\text{см}^3$, ф. гр. $C2$ и NbSb₂ $a = 10,239$, $b = 3,6319$, $c = 8,333\text{\AA}$, $\beta = 120,07^\circ$ d (пикн.) = $= 8,22 \text{ г}/\text{см}^3$, ф. гр. $C2$. Отмечается, что NbAs, NbAs₂ и NbSb₂ диамагнитны, а Nb₃Sb и Nb₅Sb₄ проявляют слабый парамагнетизм.

М. Савельева

+1

2.1965.15

1964

NbAs_x
NbSb_x

16 В26. О получении арсенидов и антимонидов ниобия. Furuseth S., Kjekshus A. On the preparation of niobium arsenides and antimonides. «J. Less-Common Metals», 1964, 7, № 3, 227—230 (англ.)

Исследована возможность синтеза NbAs_x (I), Nb₃As (II) и Nb₅Sb₄ (III) путем проведения р-ции в газовой фазе между Nb и As или Sb при 720—925°. Показано, что получение I—III этим методом невозможно. Для получения I—III рекомендуется метод термич. разложения NbAs₂ и NbSb₂. Диссоциация NbAs₂ при 1100° приводит к образованию I, а разложение NbSb₂ при 830 и 1000° — соответственно III и Nb₃Sb. В. Квин

(+) 1

X

x · 1965 · 16

NbAs

1964

15 Б239. Кристаллическая структура NbAs. ~~Furu-seth Sigrid, Kjekshus Arne.~~ The crystal structure of NbAs (comments). «Acta crystallogr.», 1964, 17, № 8, 1077—1078 (англ.)

Проведено рентгенографич. исследование (метод порошка, камера Гинье, $\lambda\text{Cu}-K_{\alpha_1}$) кристаллич. структуры NbAs. Параметры тетрагон. решетки: a 3,452, c 11,679 Å, ρ (изм.) 7,93, $Z=4$, ф. гр. $I4_1$ или $I4_1md$. Структура решена на основе ее предположительного сходства с известной структурой β -NbP (РЖХим, 1955, № 10, 18194). Минимализацией R -фактора уточнена координата $Z\text{As}=0,416+0,001$; при этом $R=0,053$. Отмечаются некоторые различия с данными проведенного ранее исследования структуры (РЖХим, 1964, 24B250): более точное определение координат в настоящей работе и несколько отличающиеся значения межатомных расстояний ($\text{Nb(As)} - 4\text{Nb(As)}$ 3,3919, $\text{Nb(As)} - 4\text{Nb(As)}$ 3,4517, $\text{Nb(As)} - 2\text{As(Nb)}$ 2,595, $\text{Nb(As)} - 4\text{As(Nb)}$ 2,630 Å).

Вместо 6 эквивалентных $\text{Nb(As)} - \text{As(Nb)}$ в предыдущем исследовании приводятся 2 различных (2+4) расстояния.

Н. Баталиева

Структура

х. 1965. 15

1964
22 Б320. Получение и характеристика кристаллов типа MX и MX_2 арсенидов ниобия и tantalа. Saini G. S., Calvert L. D., Taylor J. B. Preparation and characterization of crystals of MX-and MX₂-type arsenides of niobium and tantalum. «Canad. J. Chem.», 1964, 42, № 3, 630—634 (англ.)

Рентгенографич. изучены моно- и диарсениды Nb и Ta. Моноарсениды NbAs (I) и TaAs (II) исследованы в прецессионной камере (λ Mo-К α , Zr-фильтр). Отсняты зоны $h0l$, $h1l$, $hk0$, $hk1$ и $hk2$. I и II изоструктурны. Параметры тетрагон. решеток: I a 3,453, c II, 672 Å, c/a 3,380, ρ 8,01; II 3,436, 11,644 Å, 3,389, 12,36, $Z=4$, ф. гр. I 4_122 и I 4_1 . Монокл. кристаллы NbAs₂ (III) и TaAs₂ (IV) также изоструктурны. Они исследованы методами прецессии и в фокусирующей камере Гинье с использованием As₂O₃ в качестве стандарта. Параметры решетки: III a 9,354, b 3,381, c 7,799, β 119°26', ρ (выч.) 7,50, ρ (экспр.) 7,01; IV a 9,35, b 3,388, c 7,760 Å, β 119°54', ρ (выч.) 10,29, ρ (экспр.) 9,21, $Z=4$, ф. гр. C2/m, Ст или C2. Монокл. III и IV представляют новый структурный тип, отличный от структуры монокл. CoAs₂ (РЖХим., 1963, 4Б197). Е. Корытный

NbAs
NbAs₂

+1

Х · 1965 · 22



~~A3-2~~ 1965

1965

arsenites

Nb & Ta

Tuprus.

Niobium and tantalum arsenites. I. G. Chufarova and A. K. Sharova. *Zh. Neorgan. Khim.* 10(4), 877-82(1965)(Russ). Practically complete pptn. of Nb and Ta from soln. contg. 100-300 g. $H_2SO_4/l.$ was obtained with 4% Na_3AsO_3 . In solns. contg. 700-800 g. $H_2SO_4/l.$ Nb remained in the liquid phase and 60% Ta pptd. The optimum conditions for complete pptn. were: a mol. ratio $As_2O_3:Nb_2O_5 = 10$, $As_2O_3:Ta_2O_5 = 20$, 400 g. $H_2SO_4/l.$, and 12 hrs. standing with 4% Na_3AsO_3 . The solid in equil. was $2M_2O_5 \cdot As_2O_3 \cdot 8H_2O$. The endothermic effect at 145° of the Nb salt and at 180° of the Ta salt was due to dehydration. The exothermic effect at 730 and 945° of the 2 salts was due to amorphous \rightarrow cryst. transition. The soly. of Nb_2O_5 in 1 and 2% $H_2C_2O_4$ contg. 5% KCl at 25° was 3.13 and 6.75 g./l., resp., whereas that of Ta_2O_5 was 0.. Increasing the concn. of $H_2C_2O_4$ to 6% increased the soly. of Nb_2O_5 to 12.85 and that of Ta_2O_5 to 0.15 g./l. Similar selective soly. was exhibited by 3N HCl and 3N H_2SO_4 contg. 1-5% $H_2C_2O_4$.

GBJR

+1

C.A: 1965-63-2
1453 ef

$2M_2O_5$

VII 2679

1965

$As_2O_3 \cdot 8H_2O$ (Ttr)

M=Nb, Ta

Чуфарова И.Г., Шарова А.К.

Ж.неорган.химии, 1965, 10/4, 877-82.

Арсениты ниобия и tantalа.

Be,



CA, 1965, 63, N2, 1453e

1965

NbAs₂приспособ.
ст - ра

✓ 3 Б305. Кристаллическая структура NbAs₂ и NbSb₂.
Furuseh Sigrid, Kjekshus Agne. The crystal
structures of NbAs₂ and NbSb₂. «Acta crystallogr.», 1965,
18, № 3, 320—324 (англ.)

Продолжено рентгенографич. исследование (метод
Вейссенберга, λ Cu- $K\alpha$) двух изоструктурных соедине-
ний: NbAs₂ (I) и NbSb₂ (II). Ранее (РЖХим, 1965,
15Б483; 21Б168) для них определены параметры монокл.
решетки: I a 9,357, b 3,3823, c 7,792 Å, β 119,46°; II
10,239; 3,6319; 8,333 Å; 120,07°; ρ (эксп.) 7,41 и 8,22,
 $Z=4$, ф. гр. C2. Структура I найдена методом двумер-
ных синтезов Паттерсона и Фурье; уточнение координат
атомов выполнено путем разностных синтезов электрон-



Х. 1966.

3



ной плотности и методом наименьших квадратов при учете индивидуальных изотропных факторов B ; $R=0,111$. Структура II решена методом наименьших квадратов, $R=0,20$ (уточнение координат атомов продолжается). Установлено, что I и II принадлежат к новому структурному типу. В структуре I каждый атом Nb окружен 6 атомами As по углам тригон. призмы; дополнительно 2 As и 1 Nb центрируют прямоугольные грани, в 2 более удаленных атома Nb — треугольные основания призмы. Два сорта атомов As имеют различную координацию: As_1 окружен 5 атомами Nb, расположеными по углам искаженной тетрагон. пирамиды, и 1 $As_{(1)}$, центрирующим ее основание. Атомы $As_{(2)}$ связаны с 3 $As_{(2)}$ и 3 Nb. Наиболее характерной особенностью структуры является наличие коротких контактов As—As, указывающих на существование связи между атомами металлоида. Межатомные расстояния: Nb—Nb 3,00₇ и 3,382₃; Nb—As 2,53₇—2,82₃, As—As 2,44₆—2,97₆. Аналогичные расстояния и координация найдены в II. На основе общего правила (8—N) обсуждается связь нового структурного типа со структурами $CuAl_2$, $PbCl_2$, MoP_2 и марказита.

А. Воронков

1965

21 Б168. Об арсенидах и антимонидах ниобия. E. G. Sigríð, Kjekshus Agpe. On the arsenides and antimonides of niobium. «Acta chem. scand.», 1964, 18, № 5, 1180—1195 (англ.)

Рентгенографически (метод порошка в камере Глие и Дебая, и монокристалла — в гониометре Вейссенберга, $\lambda \text{Cu}-K_{\alpha_1}$) исследованы системы Nb—As и Nb—Sb. Проведено определение плотности и магнитной восприимчивости. Идентифицированы 3 новые промежуточные фазы: 1) NbAs_2 монокл., $a = 9,357$, $b = 3,3823$, $c = 7,792$ Å, $\beta = 119,46^\circ$. ρ (эксп.) 7,41, $Z = 4$, вероятные ф. гр. $C2$, Cm , $C2/m$; 2) Nb_5Sb_4 тетрагон. структура типа Ti_5Te_4 , $a = 10,314$, $c = 3,5566$ Å; $\rho = 8,17$ при 25° ; 3) NbSb_2 монокл., $a = 10,239$, $b = 3,6319$, $c = 8,333$ Å; $\beta = 120,07^\circ$, $\rho = 8,22$, $Z = 4$, вероятная ф. гр. $C2$, Cm , $C2/m$. Для NbAs параметры решетки: $a = 3,4517$, $c = 11,680$ Å, $\rho = 7,93$; для Nb_3Sb $a = 5,2643$ Å, $\rho = 8,83$. Фазы NbAs , NbAs_2 и NbSb диамагнитны, а Nb_3Sb и Nb_5Sb_4 проявляют слабый парамагнетизм, не зависящий от температуры.

+1

арсениды

и

антими-

ноиды.

Кристал.

ст - ра

2.1965.21

Nb-As

1965

Kp; Schäfer Harald,
Fuhr Werner,
J. Less-Common Metals,
1965, 8, N6, 375-387.

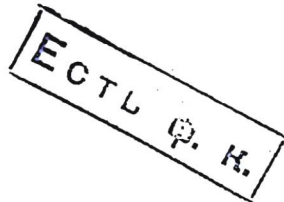
(Ces. Nb-P; I)

M₃X M = Hf, Nb, Ta VII 3964,
X = Pu Ts kp. Crp-pa 1966

Ganglberger ?, Nowotny H.,
Benesovsky F., Monatsh. Chem.,
1966, 97, Nb, 1696 - 97

JX 1964
1654101

Mu



Nb_3As

1976

Gubser D. U. et al

Phys. Rev. B. 1976, 14(9),
3856-61.

(Θ_α, C_p)

(all. Nb_3Si , I)

NbAs

1949

Murray J. et al

J. Less-Common Metals, 1949
64, NL, 45-51.

P, 0H₂₉₈

CH. W₂As₃-I

1981

Nb₅As₃

18 Б446. Уточнение структуры арсенида ниобия
Nb₅As₃. Laohavanich S., Thanomkul S., Pramatus S. Structure refinement of niobium arsenide Nb₅As₃. «Acta crystallogr.», 1981, V37, № 1, 227—228 (англ.)

Кристалл
структур.

Проведено рентгеноструктурное исследование (камера Вейсенберга, λ Mo, изотропное приближение, 1199 отражений, $R=0,117$) кристаллов Nb₅As₃ (I). Параметры ромбич. решетки I: $a = 26,0701$, $b = 5,5198$, $c = 11,7869$ Å, ρ (выч.) 8,465, $Z = 8$, ф. гр. $Pnma$. I кристаллизуется по типу Nb₅P₃ [Thomas J. O., Ersson N. O., Andersson Y., «J. Appl. Crystallogr.», 1980, 13, 605]. Межатомные расстояния в I: Nb—As 2,512—2,888, 3,996, Nb—Nb 2,907—3,750, As—As 3,391—3,910 Å. В. Б. Калинин

Х 1981 N 18

Nb₃As

1982

12 E1576. Сверхпроводимость системы Nb₃As. Superconductivity of the Nb₃As system. Ummat P. K., Carbotte J. P., Cowan W. B., Dafars W. R., Stager C. V. «J. Appl. Phys.», 1982, 53, № 5, 3719—3722 (англ.)

Экспериментально исследована реакция агломерации Nb с As. По данным рентгеновской дифракции в полученных образцах Nb₃As наряду с метастабильной фазой A-15 присутствует более стабильная тетраг. фаза типа Ti₃P. Т-ра сверхпроводящего перехода фазы A-15, найденная из кривой зависимости восприимчивости от т-ры, равна 6,5 К; ширина сверхпроводящего перехода ~0,2 К. Найдена зависимость верхнего критич. поля H_{c2} от т-ры. Экстраполированное к нулевой т-ре верхнее критич. поле равно 1,82 Тл. Полученная экстраполяцией H_{c2} к нулевому значению величины т-ры сверхпроводящего перехода оказалась также равна 6,5 К.

Е. Ш.

cf. 1982, 18, N 12.

Nb_3As

1983

Mekhovtsov V.M., Golovko
Yu. I., et al.,

(Gp)

Phys. Status Solidi
A 1983, 78(1), 253-7.

Nb₃As

[Dm. 17390]

1983

C_p,
specific heat.
Nb₃As

Waterstrat R. et al.,
Lachal B., et al.,

J. Low. Temp. Phys.,
1983, 52, N1-2, 55-61.

NbAs₂

1995

24 Б217. NbAs₂. NbAs₂ / Bensch W., Heid W. // Acta crystallogr. C. — 1995. — 51, № 11. — С. 2205—2207
— Англ.

В кварцевой ампуле при 1273К синтезированы игольчатые черные монокристаллы NbAs₂ и при 295К выполнен их РСТА. Структура NbAs₂(M, 242,8) моноклинная, ф. гр. C2/m; a 9,368, b 3,396, c 7,799 Å, β 119,42°; Z 4; ρ(выч.) 7,4605; R 0,0303 для 364 независимых отражений. Соединение кристаллизуется в структурном типе OsGe₂. Атом Nb расположен в треугольной призме из атомов As. Два других атома As и 1 атом Nb находятся вне треугольных граней. Каждый атом As1 имеет искаженное квадратно-пирамидальное окружение из 5 атомов Nb. Каждый атом As2 координирован 3 атомами As2 и 3 атомами Nb. Расположение атомов As2 приводит к чередованию короткой и длинной связей As2—As2(2,439 и 2,864 Å, соответственно). Короткие расстояния As2—As2 могут рассматриваться как ковалентные связи.

Ф. М. Спиридонов

X - 1996, N 24

СМР-102